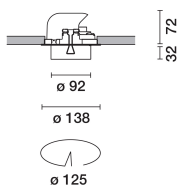


Última actualización de la información: Enero 2025

Configuraciones productos: RM75.01

RM75.01: Luminaria orientable empotrable - cuerpo Ø92 - óptica Wide Flood - 20.3W 2566.2lm - 4000K - Blanco



Código producto

RM75.01: Luminaria orientable empotrable - cuerpo Ø92 - óptica Wide Flood - 20.3W 2566.2lm - 4000K - Blanco

Descripción

Luminaria orientable para instalación empotrable. Estructura portante con marco de tope y cuerpo luminoso orientable de aluminio fundido a presión. Muelles de fijación de acero. Elemento de unión y rotación de plástico de alta resistencia que actúa como revestimiento interior estético y funcional con la luminaria empotrable ya instalada. Rotación a 359° - Orientación +60° (exterior) -20° (interior). Grupo óptico con lámpara LED. El reflector antirrayado de aluminio P.V.D (Physical Vapour Deposition) asegura óptimos niveles de rendimiento y eficiencia. Incluye una unidad de alimentación regulable DALI conectada a la luminaria. Posibilidad de instalación de un accesorio frontal plano - cristal de protección o refractor para la distribución elíptica. Reflectores intercambiables en todas las aperturas previstas disponibles como accesorios.

Instalación

Instalación empotrable en falso techo - fijación con muelles de acero para espesores de 1 a 25 mm.

Colores

Blanco (01)

Peso (Kg)

0.69

Montaje

empotrable en el techo

Equipo

Conexión directa a la red en los bornes de conexión de la unidad de alimentación incluida.

Se conforma con EN60598-1 y regulaciones pertinentes



Datos técnicos

| | | | |
|---|-------|--------------------------------------|---------------------------------|
| Im de sistema: | 2566 | CRI (mínimo): | 80 |
| W de sistema: | 20.3 | Temperatura de color [K]: | 4000 |
| Im de la fuente: | 2730 | MacAdam Step: | 2 |
| W de la fuente: | 17 | Life time (vida útil) LED 1: | > 50,000h - L90 - B10 (Ta 25°C) |
| Eficiencia luminosa (lm/W, valor del sistema): | 126.4 | Código de lámpara: | LED |
| Im en modo emergencia: | - | Número de lámparas por grupo óptico: | 1 |
| Flujo total de emisión en un ángulo de 90° o superior [Lm]: | 0 | Código ZVEI: | LED |
| Light Output Ratio (L.O.R.) [%]: | 94 | Número de grupos ópticos: | 1 |
| Ángulo de apertura del haz de luz [°]: | 56° | Control: | DALI-2 |

Polar

| | | | | | |
|--|---|-----|-----|-----|------|
| | Imax=3358 cd C0-180 CIE nL 0.94 98-100-100-100-94 UGR 18.4-16.7 DIN A.61 UTE 0.94A+0.00T F*1=980 F*1+F*2=999 F*1+F*2+F*3=1000 CIBSE LG3 L<3000 cd/m² at 65° UGR<19 L<3000 cd/mq @65° | | | | |
| | h | d1 | d2 | Em | Emax |
| | 2 | 2.1 | 2.1 | 674 | 839 |
| | 4 | 4.3 | 4.3 | 169 | 210 |
| | 6 | 6.4 | 6.4 | 75 | 93 |
| | 8 | 8.5 | 8.5 | 42 | 52 |

Coefficientes de uso

| R | 77 | 75 | 73 | 71 | 55 | 53 | 33 | 00 | DRR |
|------|-----|-----|----|----|----|----|----|----|-----|
| K0.8 | 84 | 80 | 76 | 74 | 79 | 76 | 75 | 72 | 77 |
| 1.0 | 88 | 84 | 81 | 79 | 83 | 80 | 80 | 77 | 82 |
| 1.5 | 93 | 89 | 87 | 85 | 88 | 86 | 85 | 83 | 88 |
| 2.0 | 95 | 93 | 91 | 90 | 92 | 90 | 89 | 87 | 92 |
| 2.5 | 97 | 96 | 94 | 93 | 94 | 93 | 92 | 89 | 95 |
| 3.0 | 99 | 97 | 96 | 95 | 96 | 95 | 94 | 91 | 97 |
| 4.0 | 100 | 99 | 98 | 97 | 97 | 97 | 95 | 93 | 99 |
| 5.0 | 100 | 100 | 99 | 99 | 98 | 98 | 96 | 94 | 100 |

Curva límite de luminancia

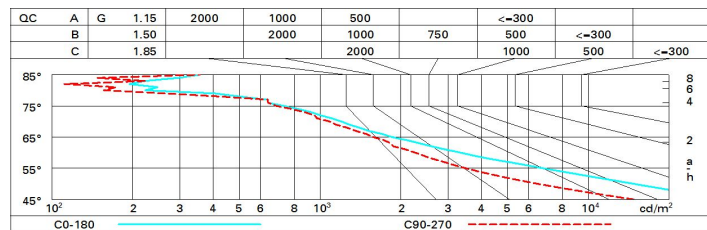


Diagrama UGR

| Corrected UGR values (at 2730 lm bare lamp luminous flux) | | | | | | | | | | | |
|--|------|---------------------|------|------|------|------|-------------------|------|------|------|------|
| Reflect.: ceiling/cav walls work pl. Room dim x y | | 0.70 | 0.70 | 0.50 | 0.50 | 0.30 | 0.70 | 0.70 | 0.50 | 0.50 | 0.30 |
| | | 0.50 | 0.30 | 0.50 | 0.30 | 0.30 | 0.50 | 0.30 | 0.50 | 0.30 | 0.30 |
| | | 0.20 | 0.20 | 0.20 | 0.20 | 0.20 | 0.20 | 0.20 | 0.20 | 0.20 | 0.20 |
| | | viewed crosswise | | | | | viewed endwise | | | | |
| 2H | 2H | 19.0 | 19.6 | 19.2 | 19.8 | 20.0 | 17.2 | 17.8 | 17.5 | 18.1 | 18.3 |
| | 3H | 18.8 | 19.4 | 19.2 | 19.6 | 19.9 | 17.1 | 17.6 | 17.4 | 17.9 | 18.2 |
| | 4H | 18.8 | 19.3 | 19.1 | 19.6 | 19.9 | 17.0 | 17.5 | 17.4 | 17.8 | 18.1 |
| | 6H | 18.7 | 19.1 | 19.0 | 19.5 | 19.8 | 16.9 | 17.4 | 17.3 | 17.7 | 18.0 |
| | 8H | 18.7 | 19.1 | 19.0 | 19.4 | 19.8 | 16.9 | 17.4 | 17.3 | 17.7 | 18.0 |
| | 12H | 18.6 | 19.0 | 19.0 | 19.4 | 19.7 | 16.9 | 17.3 | 17.2 | 17.6 | 18.0 |
| 4H | 2H | 18.8 | 19.3 | 19.1 | 19.6 | 19.9 | 17.0 | 17.5 | 17.4 | 17.8 | 18.1 |
| | 3H | 18.6 | 19.0 | 19.0 | 19.4 | 19.7 | 16.9 | 17.3 | 17.3 | 17.6 | 18.0 |
| | 4H | 18.5 | 18.9 | 18.9 | 19.3 | 19.7 | 16.8 | 17.2 | 17.2 | 17.5 | 17.9 |
| | 6H | 18.4 | 18.8 | 18.9 | 19.2 | 19.6 | 16.7 | 17.0 | 17.1 | 17.4 | 17.8 |
| | 8H | 18.4 | 18.7 | 18.8 | 19.1 | 19.5 | 16.7 | 17.0 | 17.1 | 17.4 | 17.8 |
| | 12H | 18.3 | 18.6 | 18.8 | 19.0 | 19.5 | 16.6 | 16.9 | 17.1 | 17.3 | 17.8 |
| 8H | 4H | 18.4 | 18.7 | 18.8 | 19.1 | 19.5 | 16.7 | 17.0 | 17.1 | 17.4 | 17.8 |
| | 6H | 18.3 | 18.5 | 18.8 | 19.0 | 19.5 | 16.6 | 16.8 | 17.0 | 17.3 | 17.7 |
| | 8H | 18.2 | 18.5 | 18.7 | 18.9 | 19.4 | 16.5 | 16.7 | 17.0 | 17.2 | 17.7 |
| | 12H | 18.2 | 18.4 | 18.7 | 18.9 | 19.4 | 16.5 | 16.6 | 17.0 | 17.1 | 17.6 |
| 12H | 4H | 18.3 | 18.6 | 18.8 | 19.0 | 19.5 | 16.6 | 16.9 | 17.1 | 17.3 | 17.8 |
| | 6H | 18.2 | 18.5 | 18.7 | 18.9 | 19.4 | 16.5 | 16.7 | 17.0 | 17.2 | 17.7 |
| | 8H | 18.2 | 18.4 | 18.7 | 18.9 | 19.4 | 16.5 | 16.6 | 17.0 | 17.1 | 17.6 |
| Variations with the observer position at spacing: | | | | | | | | | | | |
| S = | 1.0H | 5.6 / -12.7 | | | | | 5.8 / -14.2 | | | | |
| | 1.5H | 8.4 / -17.1 | | | | | 8.6 / -16.7 | | | | |
| | 2.0H | 10.4 / -19.3 | | | | | 10.6 / -18.3 | | | | |